

---

# Vision par ordinateur

Mise en correspondance  
stéréoscopique

Frédéric Devernay  
avec de nombreux transparents de Richard Szeliski

# Stéréoscopie

---

Étant données deux images ou plus d'une même scène, calculer une représentation de la forme 3D de cette scène

Quelles applications possibles ?

# Modélisation de visage

---

Une paire stéréo = un modèle 3D de visage



[[Frédéric Devernay](#), INRIA]

# Z-keying : mélange réel/synthétique

---

Takeo Kanade, CMU ([Stereo Machine](#))



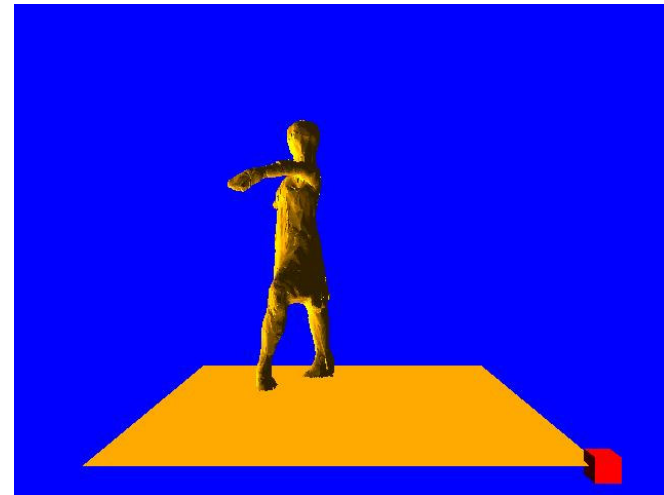
# Virtualized Reality™

---

Takeo Kanade, CMU

- plus de 50 flux vidéo simultanés

reconstruction de séquences de modèles 3D



<http://www.cs.cmu.edu/afs/cs/project/VirtualizedR/www/VirtualizedR.html>

05/12/01

Mise en correspondance  
stéréoscopique

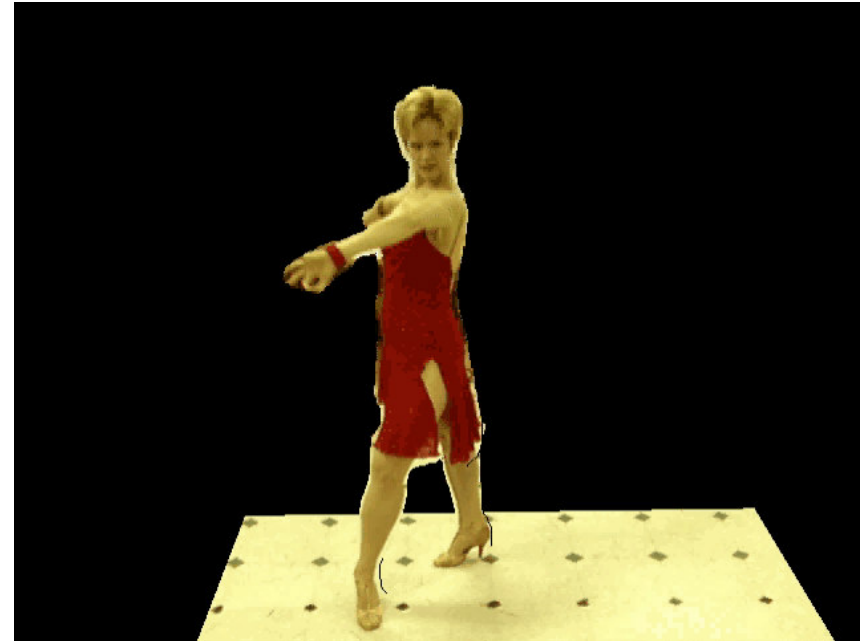
5

# Virtualized Reality™

---

Takeo Kanade, CMU

- générer autre vidéo



# Interpolation de vues

---

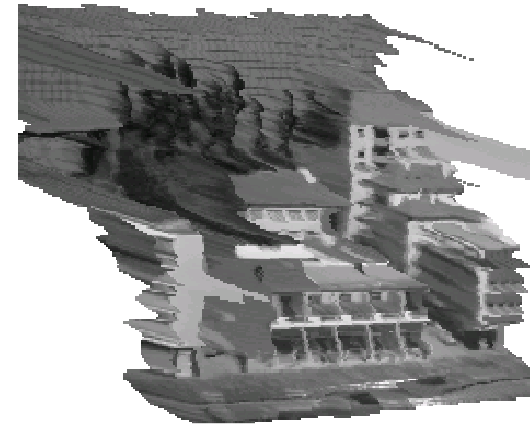
Etant donné deux images avec des correspondances, faire du *morphing* entre elles [Chen & Williams, SIGGRAPH'93]



entrée



profondeur



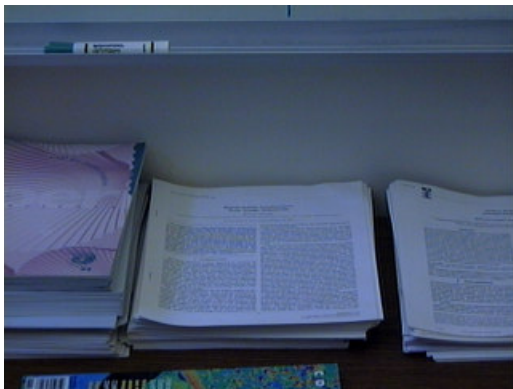
nouvelle vue

[Matthies, Szeliski, Kanade'88]

# Interpolation de vues

---

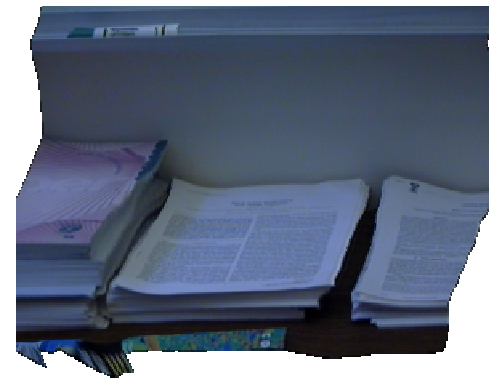
Carte de profondeur sous forme de splines



entrée



profondeur



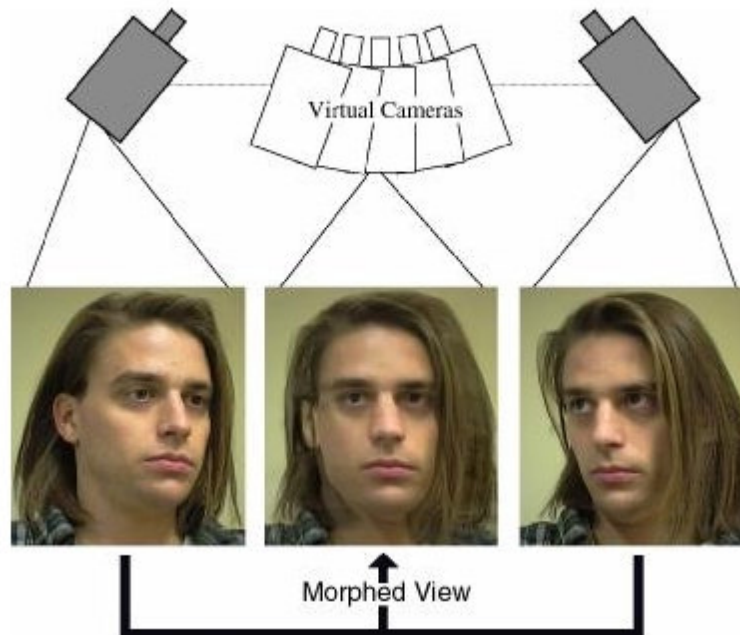
autre vue

[Szeliski & Kang '95]

# View Morphing

---

Morph between pair of images using epipolar geometry [Seitz & Dyer, SIGGRAPH'96]



# Modèles de terrain / ville

---



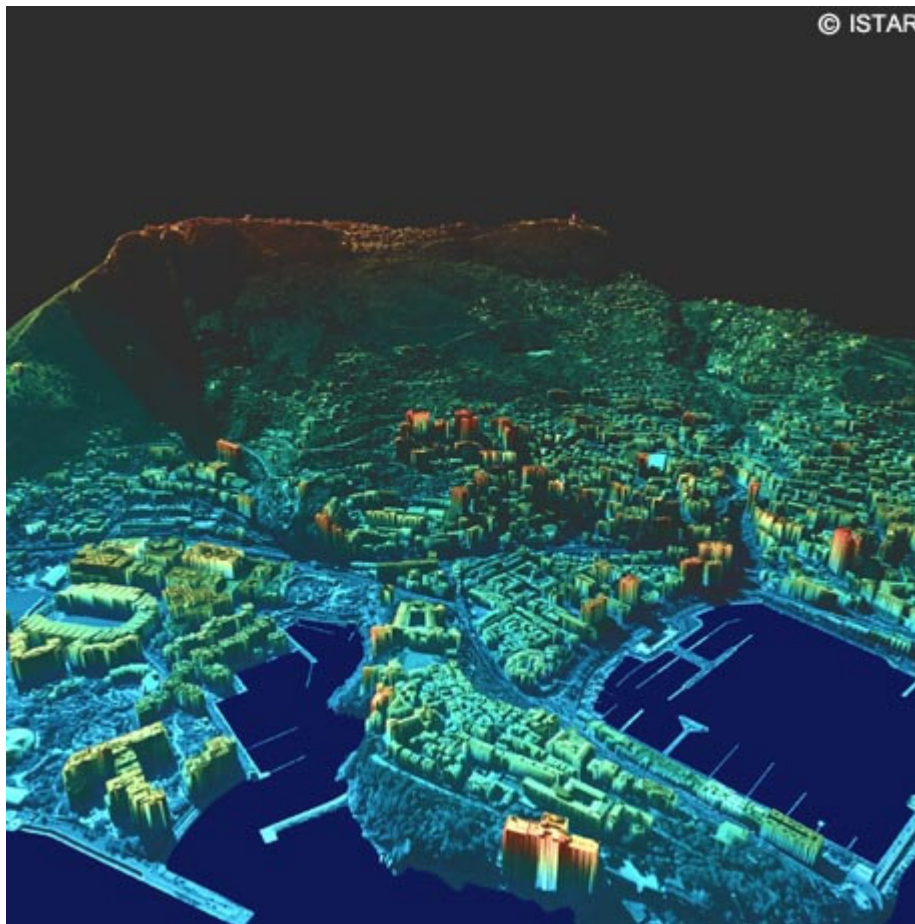
ISTAR, Sophia Antipolis

05/12/01

Mise en correspondance  
stéréoscopique

10

# Modèles de terrain / ville



ISTAR, Sophia Antipolis

05/12/01

Mise en correspondance  
stéréoscopique

11

# Autres applications

---

- Suivi temps réel de personnes (systèmes de Pt. Gray Research and SRI)
- Correction de regard pour la vidéo-conférence [Ott,Lewis,Cox InterChi'93]
- D'autres idées ?

# Mise en correspondance stéréo

---

Étant données deux images ou plus d'une même scène, calculer une représentation de la forme de cette scène

Quelles représentations possibles ?

- cartes de profondeur
- modèles volumiques
- modèles de surfaces 3D
- superposition de calques

# Mise en correspondance stéréo

---

Quels algorithmes possibles ?

- mettre en correspondance des “features” (points d'intérêts) et interpoler
- idem avec des contours
- mettre en corresp. des fenêtres de pixels

optimisation:

- mise à jour itérative
- programmation dynamique
- minimisation d'énergie (regularisation, stochastique)
- algorithmes de graphes

# Nous allons voir...

---

Rectification des images

Critère de mise en correspondance

Algorithmes locaux (agrégation)

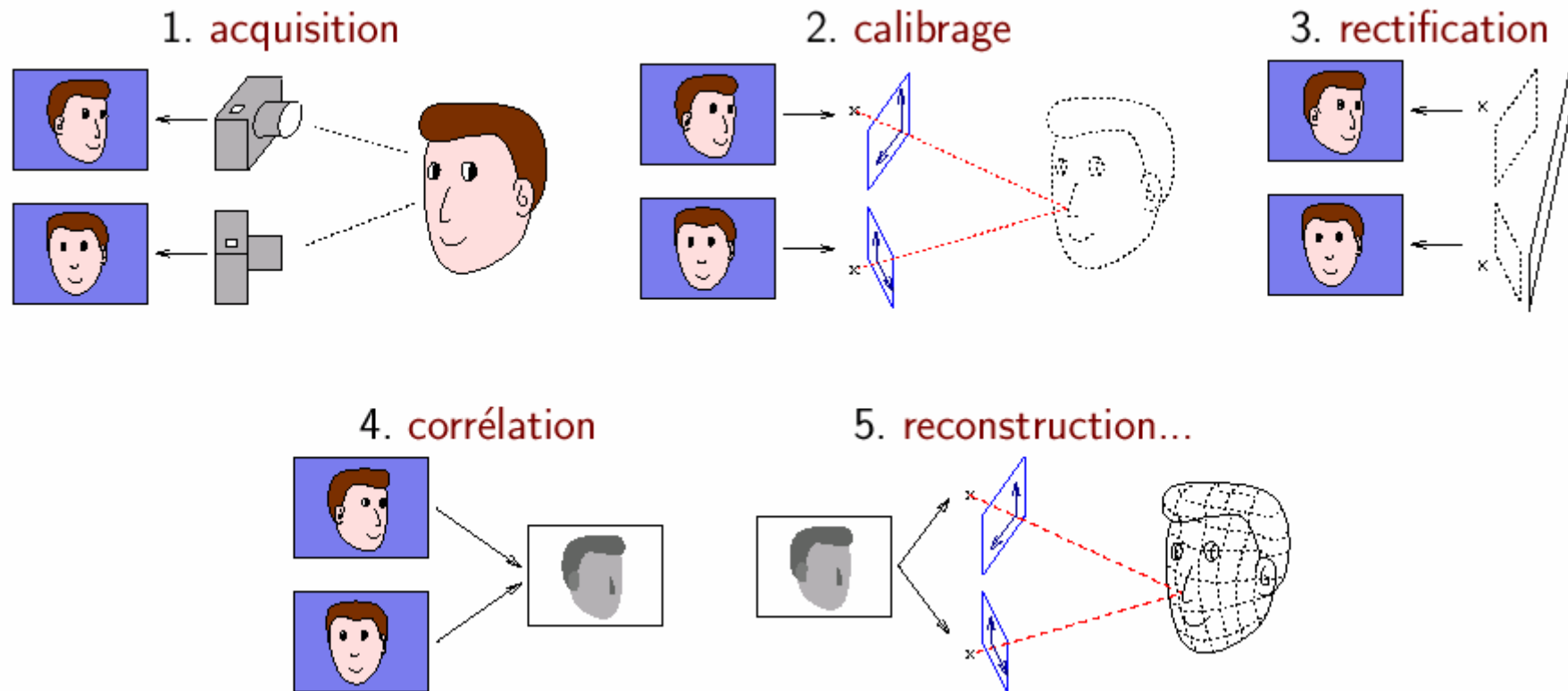
Mise à jour itérative

Algorithmes par optimisation :

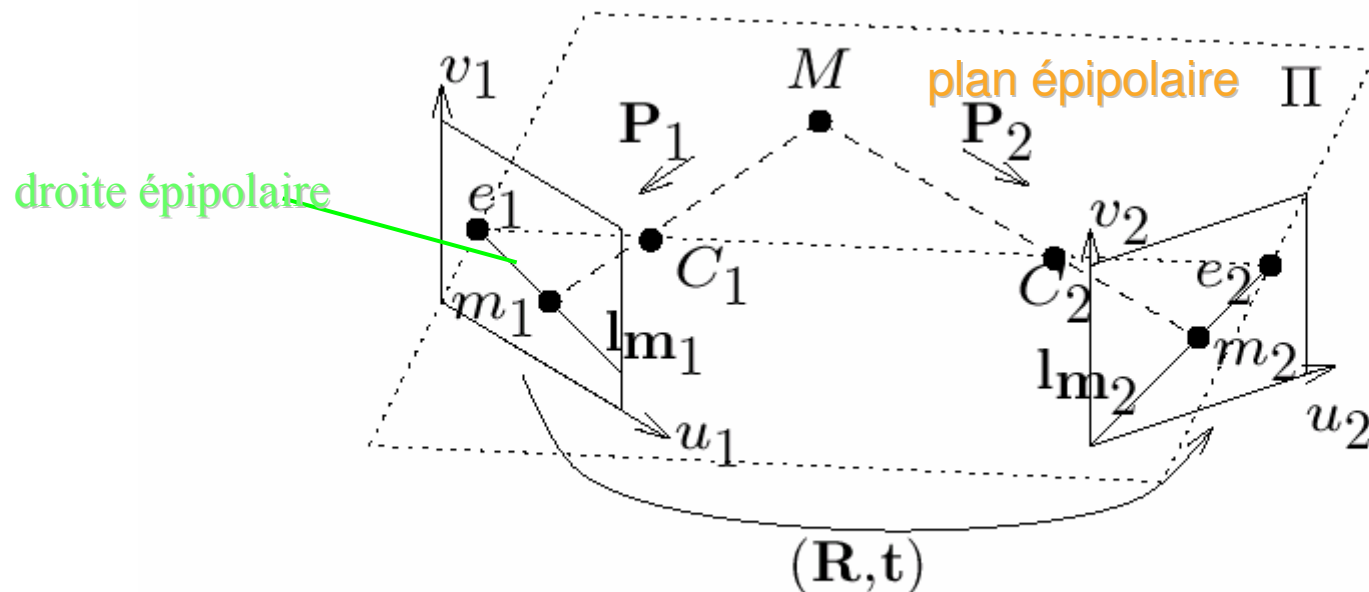
- formulation énergétique
- Champs de Markov
  - champ moyen, stochastique, et algorithmes de graphe

# Étapes de la stéréoscopie

---



# Stéréo : géométrie épipolaire



$$\mathbf{m}_1 = (x_1, y_1, 1), \mathbf{m}_2 = (x_2, y_2, 1), \text{ et } \mathbf{m}_1^T \mathbf{F}_{12} \mathbf{m}_2 = 0.$$

L'information sur la géométrie épipolaire est contenue dans la matrice (3x3) fondamentale  $\mathbf{F}$ , qui permet de faire une reconstruction projective

# Stéréo : géométrie épipolaire

---

à partir de deux images, on peut calculer  $F$ , qui nous donne les droites épipolaires

les droites épipolaires sont la projection du faisceau de plans passant par les centres optiques

**Rectification** : transformation homographique des images pour que les droites épipolaires soient horizontales

# Rectification

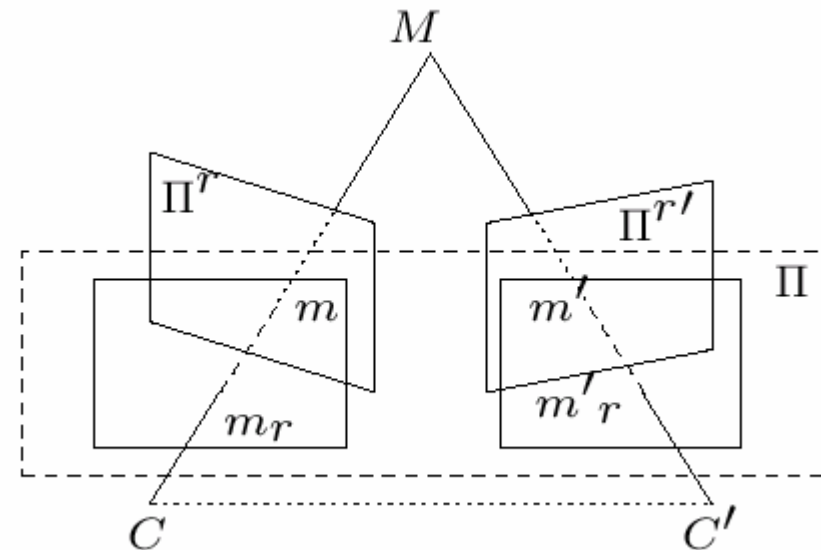
---

Transformation de images pour préparer à la stéréo :  
les droites épipolaires deviennent horizontales, les points qui se correspondent ont le même  $y$

En 3D : reprojexion sur plan // à l'axe joignant les centres optiques

9 D.L. : orientation du plan (1) et params intrinsèques des caméras rectifiés (5+3)

Nécessite calibrage fort



# Rectification et calibrage faible

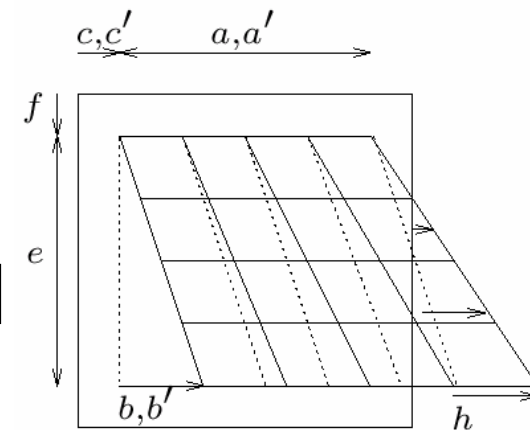
Rectifications compatibles avec  $\mathbf{F}$  :  $\mathbf{F} \cong \mathbf{R}'^T \begin{bmatrix} 0 & 0 & 0 \\ 0 & 0 & -1 \\ 0 & 1 & 0 \end{bmatrix} \mathbf{R}$   
 Calculer une paire  $\mathbf{R}_0, \mathbf{R}'_0$  par SVD, puis

$$\mathbf{R} \cong \begin{bmatrix} a & b & c \\ 0 & e & f \\ 0 & h & i \end{bmatrix} \mathbf{R}_0 \text{ et } \mathbf{R}' \cong \begin{bmatrix} a' & b' & c' \\ 0 & e & f \\ 0 & h & i \end{bmatrix} \mathbf{R}'_0, \text{ avec } \begin{vmatrix} e & f \\ h & i \end{vmatrix} \neq 0.$$

Interprétation géométrique :

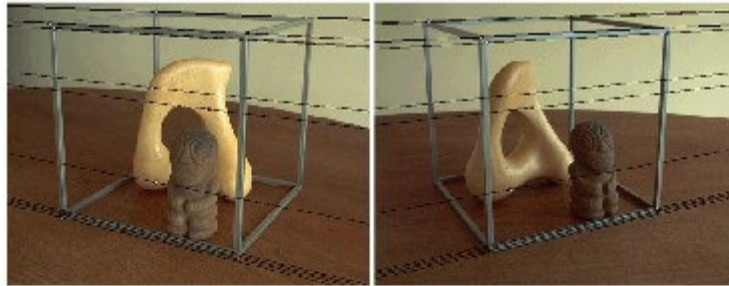
Optimisation par minimisation  
de la déformation des images

[Zhang and Loop, [MSR-TR-99-21](#)]

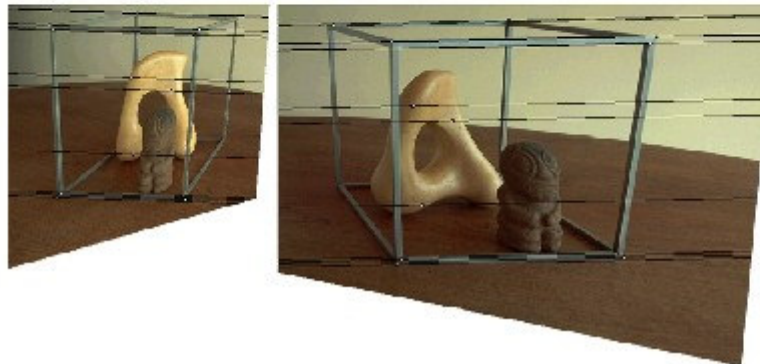


# Rectification

---



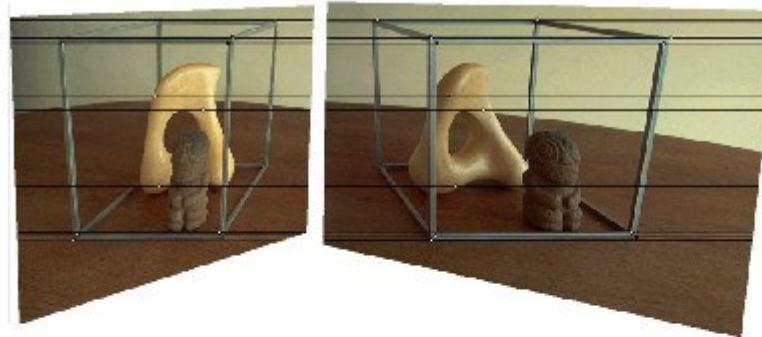
(a) Original image pair overlaid with several epipolar lines.



(b) Image pair transformed by the specialized projective mapping  $\mathbf{H}_p$  and  $\mathbf{H}'_p$ . Note that the epipolar lines are now parallel to each other in each image.

# Rectification

---



(c) Image pair transformed by the similarity  $H_r$  and  $H'_r$ . Note that the image pair is now rectified (the epipolar lines are horizontally aligned).

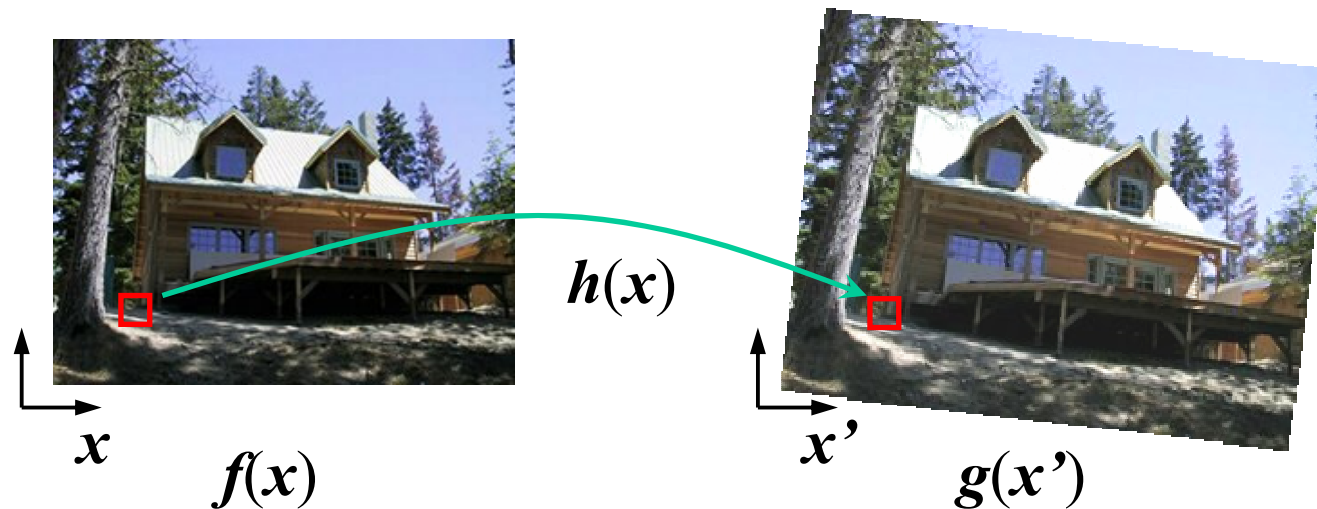


(d) Final image rectification after shearing transform  $H_s$  and  $H'_s$ . Note that the image pair remains rectified, but the horizontal distortion is reduced.

# Transformation d'une image

---

Étant donnée une transformation  $x' = h(x)$  et une image source  $f(x)$ , comment calculer l'image transformée  $g(x') = f(h(x))$  ?

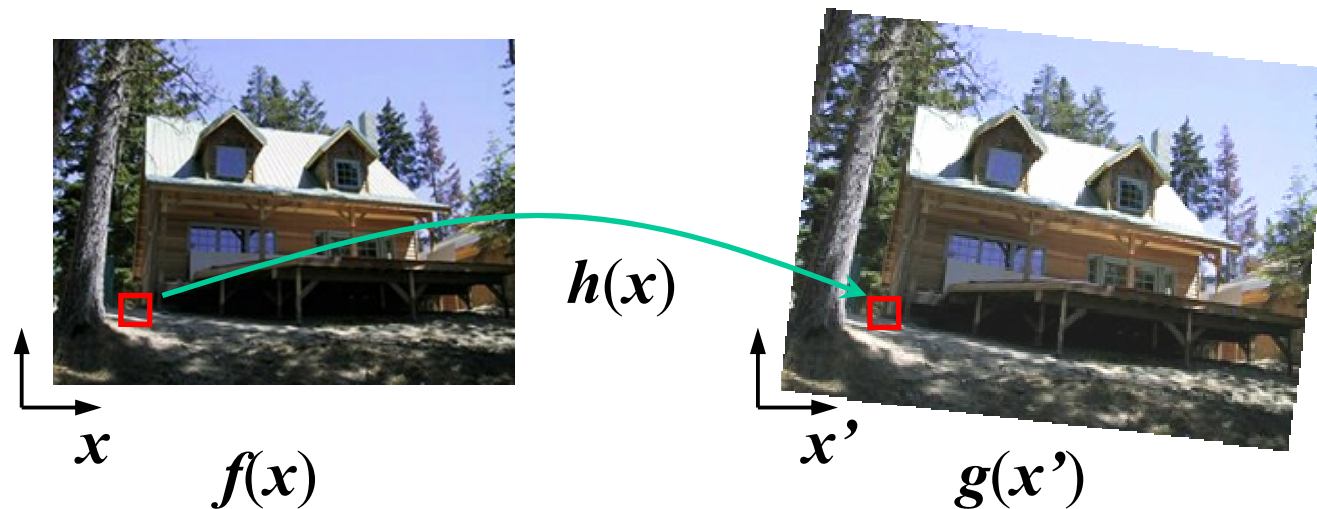


# Transformation directe

---

Envoyer chaque pixel  $f(x)$  vers le lieu correspondant  $x' = h(x)$  de  $g(x')$

- Et si le pixel "tombe" entre deux pixels ?

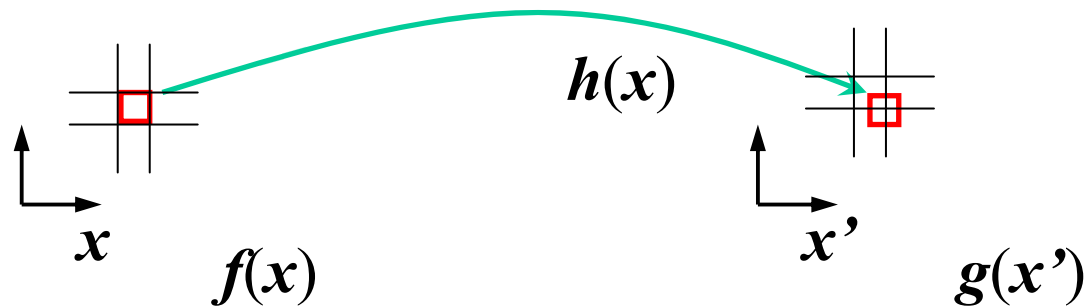


# Transformation directe

---

Envoyer chaque pixel  $f(x)$  vers le lieu correspondant  $x' = h(x)$  de  $g(x')$

- Et si le pixel "tombe" entre deux pixels ?
- Réponse: ajouter la "contribution" à plusieurs pixels, normaliser plus tard (*splatting*)

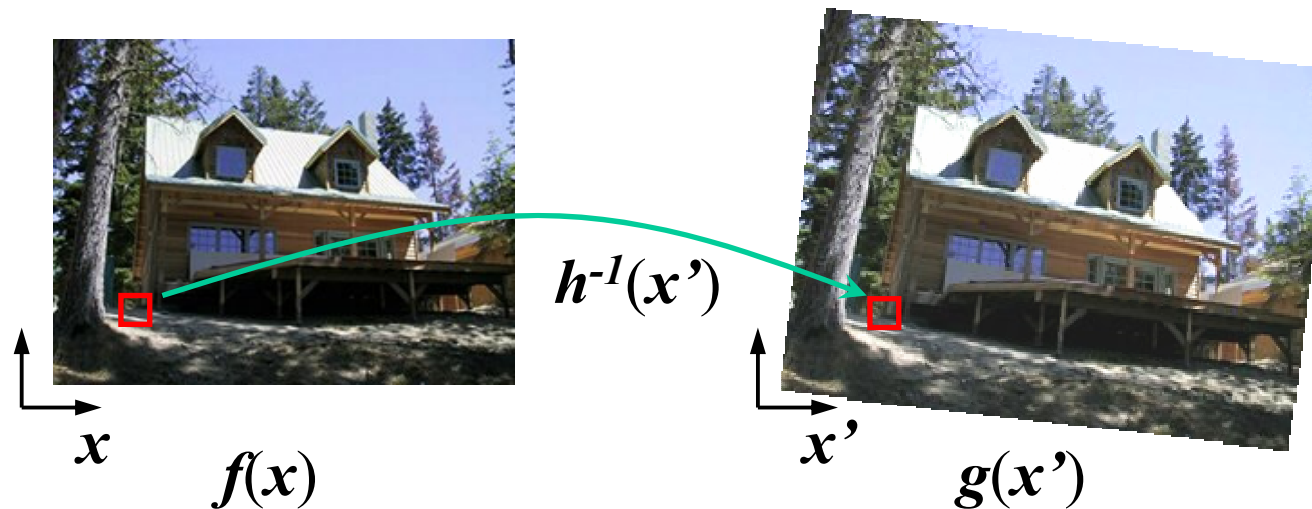


# Transformation inverse

---

Prendre chaque pixel  $g(x')$  du lieu correspondant  $x = h^{-1}(x')$  dans  $f(x)$

- Et si le pixel "tombe" entre deux pixels ?

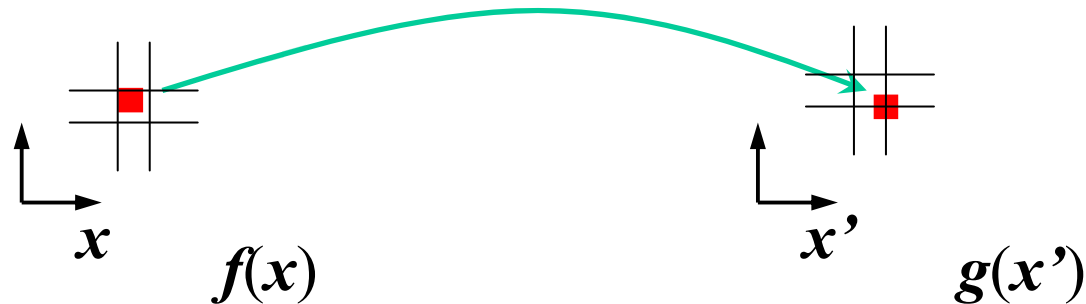


# Transformation inverse

---

Prendre chaque pixel  $g(x')$  du lieu correspondant  $x = h^{-1}(x')$  dans  $f(x)$

- Et si le pixel "tombe" entre deux pixels ?
- Réponse : rééchantillonner les valeurs à partir de l'image originale *interpolée*



# Interpolation

---

Filtres d'interpolation :

- plus proche voisin
- bilinéaire
- bicubique
- sinc / FIR

Nécessaire pour éviter les  
phénomènes d'aliasing et de moiré



# Critère de correspondance

---

Valeurs d'intensité (corrélation)

Images filtrées passe-bande [Jones & Malik 92]

"Coins" [Zhang, ...]

Contours [beaucoup de gens...]

Gradients [Seitz 89; Scharstein 94]

Statistiques sur le rang [Zabih & Woodfill 94]

# Critères de corrélation

---

SSD (sum of squared differences).  $d$  = disparité.

$$c_{x,y}(d) = - \sum_{-l \leq i \leq l; -h \leq j \leq h} (I_1(x+i, y+j) - I_2(x+d+i, y+j))^2$$

ε

Critère normalisé

$$c_{x,y}(d) = - \frac{\sum_{i,j} ((I_1(x+i, y+j) - \bar{I}_1(x, y)) - (I_2(x+d+i, y+j) - \bar{I}_2(x, y)))^2}{\sqrt{\sum_{i,j} (I_1(x+i, y+j) - \bar{I}_1(x, y))^2} \sqrt{\sum_{i,j} (I_2(x+d+i, y+j) - \bar{I}_2(x, y))^2}}$$

Critère normalisé simplifié  $I'_1(x+i, y+j) = I_1(x+i, y+j) - \bar{I}_1(x+i, y+j)$

$$I'_2(x+i, y+j) = I_2(x+i, y+j) - \bar{I}_2(x+i, y+j)$$

$$c_{x,y}(d) = - \frac{\sum_{i,j} (I'_1(x+i, y+j) - I'_2(x+d+i, y+j))^2}{\sqrt{\sum_{i,j} I'_2(x+d+i, y+j)^2}}$$

# Critères de corrélation

---

Cross-correlation = cosinus des vecteurs d'intensité

$$c_{x,y}(d) = \frac{\sum_{i,j} (I_1(x+i, y+j) - \bar{I}_1(x,y))(I_2(x+d+i, y+j) - \bar{I}_2(x,y))}{\sqrt{\sum_{i,j} (I_1(x+i, y+j) - \bar{I}_1(x,y))^2} \sqrt{\sum_{i,j} (I_2(x+d+i, y+j) - \bar{I}_2(x,y))^2}}$$

Critère simplifié

$$c_{x,y}(d) = \frac{\sum_{i,j} I'_1(x+i, y+j) I'_2(x+d+i, y+j)}{\sqrt{\sum_{i,j} I'_2(x+d+i, y+j)^2}}$$

# Trouver les correspondances

---

calculer le critère de correspondance (par ex. corrélation ou Lucas-Kanade) en tous les pixels simultanément

recherche des correspondances sur les droites épipolaires (moins de candidats)



# Taille de la fenêtre de corrélation

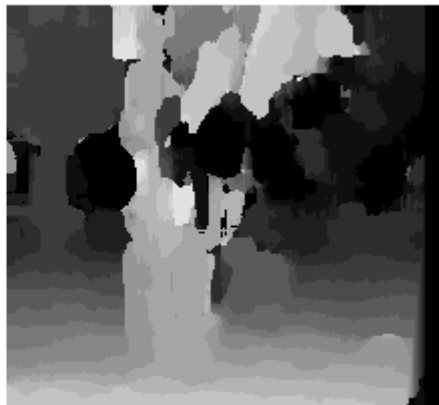
---

Petit voisinage : plus de détails

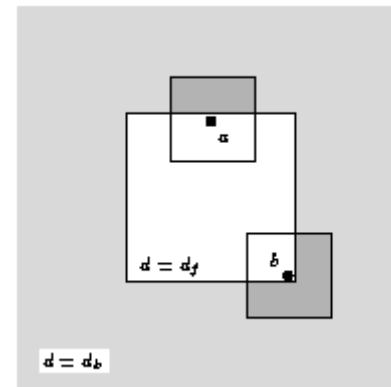
Grand voisinage : moins d'erreurs isolées



$w = 3$



$w = 20$



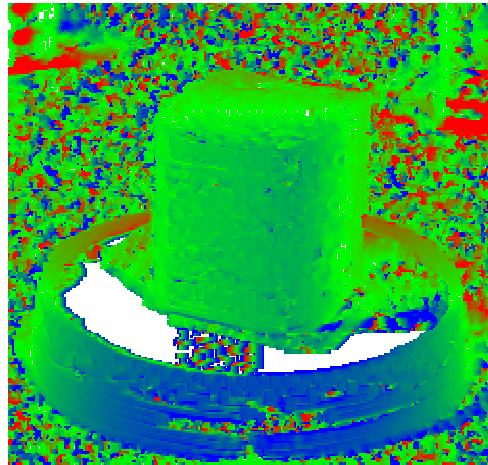
# Stéréo : modéliser la confiance

---

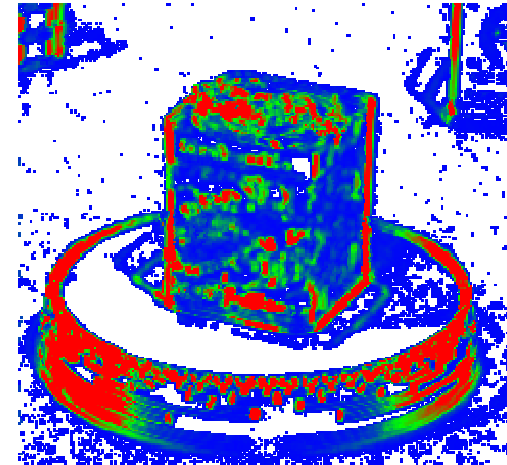
Mesure de l'incertitude par le score de corrélation



entrée



disparité



confiance

# Stéréoscopie par corrélation

---

Calculer les images  $I'_1, I'_2$ ,  $\text{variance}(I'_2)$

À chaque valeur de la disparité  $d$  correspond l'homographie

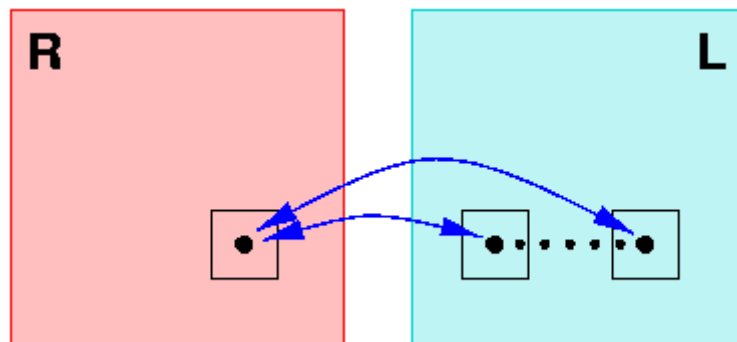
$$\mathbf{H}_d = \mathbf{R}'^{-1} \begin{bmatrix} 1 & 0 & d \\ 0 & 1 & 0 \\ 0 & 0 & 1 \end{bmatrix} \mathbf{R}$$

À une valeur de  $d$  correspond donc un *plan 3D* : balayer les valeurs de  $d$  revient à balayer l'espace par un plan 3D

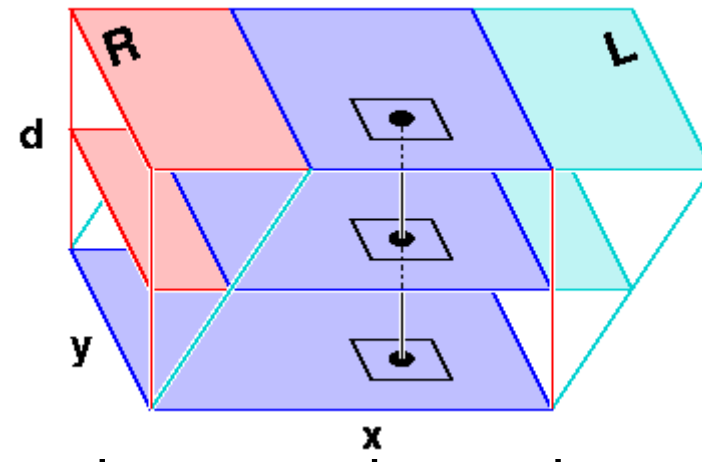
# Stéréoscopie par corrélation

---

Réordonnancement des boucles (pixel/disparité)



pour chaque pixel,  
pour chaque disparité  
calculer le score



pour chaque pixel  
calculer le score

# Stéréoscopie par corrélation

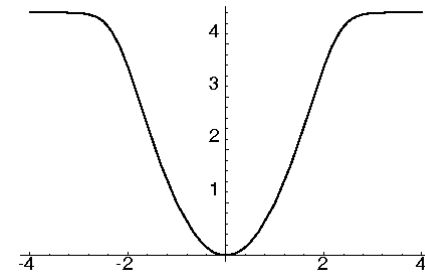
---

- Pour chaque disparité, calculer le coût en chaque pixel

$$E_0(x, y; d) = \rho(I_L(x' + d, y') - I_R(x', y'))$$

Pourquoi une fonction  $\rho$  robuste

- occlusions, autres erreurs



On peut également utiliser un autre critère  
(cosinus)

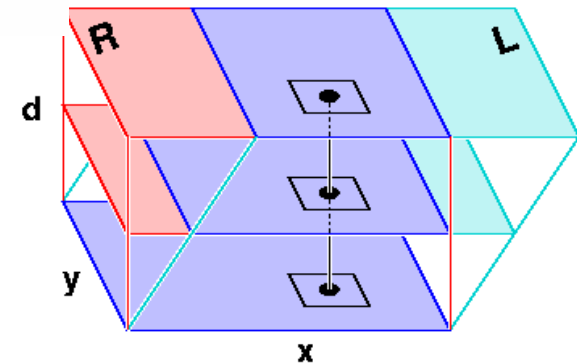
# Stéréoscopie par corrélation

---

## 2. Score = moyenne spatiale

$$E(x, y; d) = \sum_{(x', y') \in N(x, y)} E_0(x', y', d)$$

- On utilise une fenêtre carrée (facilement optimisable)



- On peut également utiliser une moyenne pondérée, de la diffusion [non-linéaire]...

# Stéréoscopie par corrélation

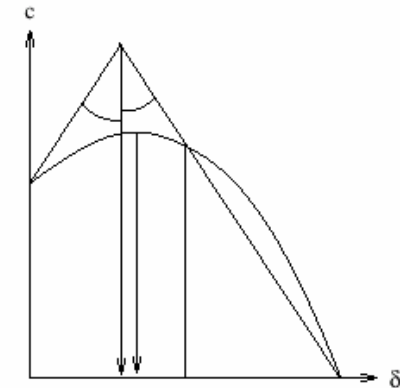
3. Optimisation par fenêtre glissante : complexité indépendante de la taille de la fenêtre de corrélation
- 

4. En chaque pixel, meilleur score  $\rightarrow$  disparité

5. Interpolation sous-pixélique parabole ou "toît"

$$d = d_0 + \frac{1}{2} \frac{c(d_0 + 1) - c(d_0 - 1)}{(c(d_0) - c(d_0 + 1)) + (c(d_0) - c(d_0 - 1))}$$

$$d = d_0 + \begin{cases} \frac{1}{2} \frac{c(d_0+1) - c(d_0-1)}{c(d_0) - c(d_0-1)} & \text{si } c(d_0 + 1) > c(d_0 - 1), \\ \frac{1}{2} \frac{c(d_0+1) - c(d_0-1)}{c(d_0+1) - c(d_0)} & \text{si } c(d_0 + 1) < c(d_0 - 1). \end{cases}$$



# Stéréo par corrélation classique

---

## Avantages :

- donne une description détaillée de la surface
- algorithme rapide (fenêtre glissante)
- disparité sous-pixélique et confiance

## Limitations :

- petite baseline  $\Rightarrow$  estimations bruitées
- échoue dans les zones sans textures
- "bavures" au frontières des occlusions

# Stéréo par corrélation fine

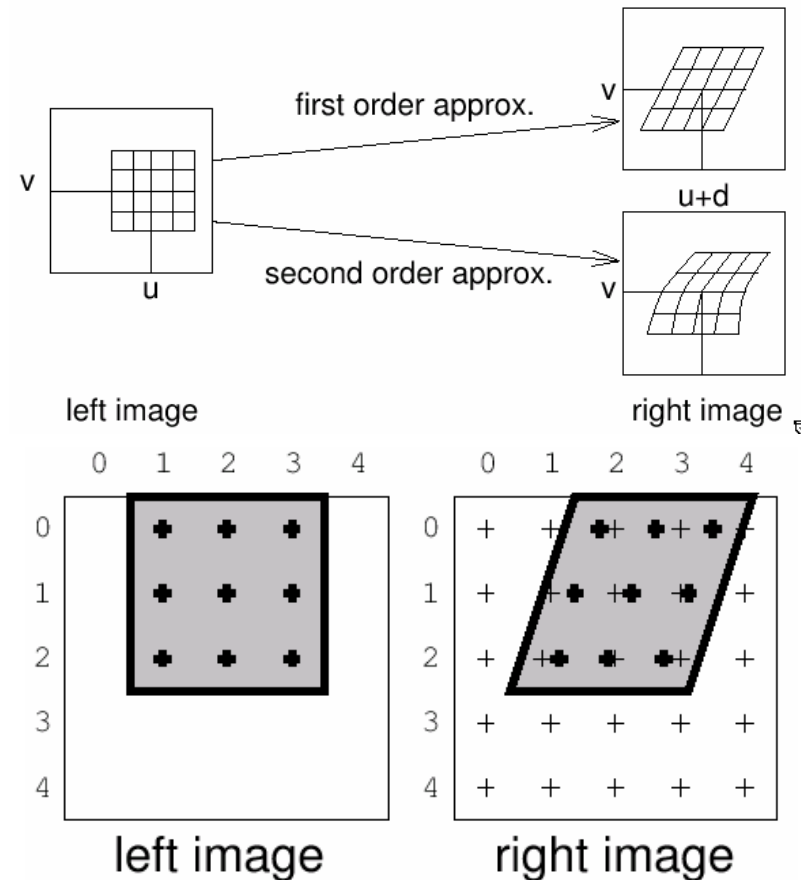
Si la surface n'est pas fronto-parallèle...

On optimise en chaque point des paramètres supplémentaires :

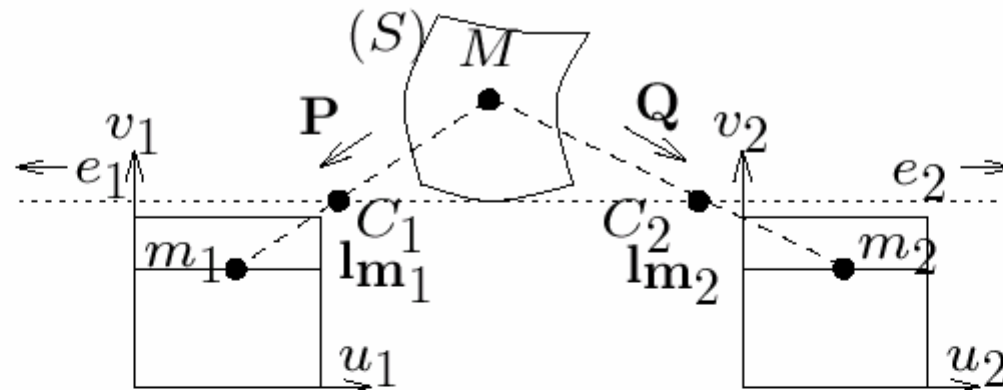
Dérivées de la disparité

- premières (1+2 pars.)
- secondes (1+2+3)

Descente de gradient



# Reconstruction

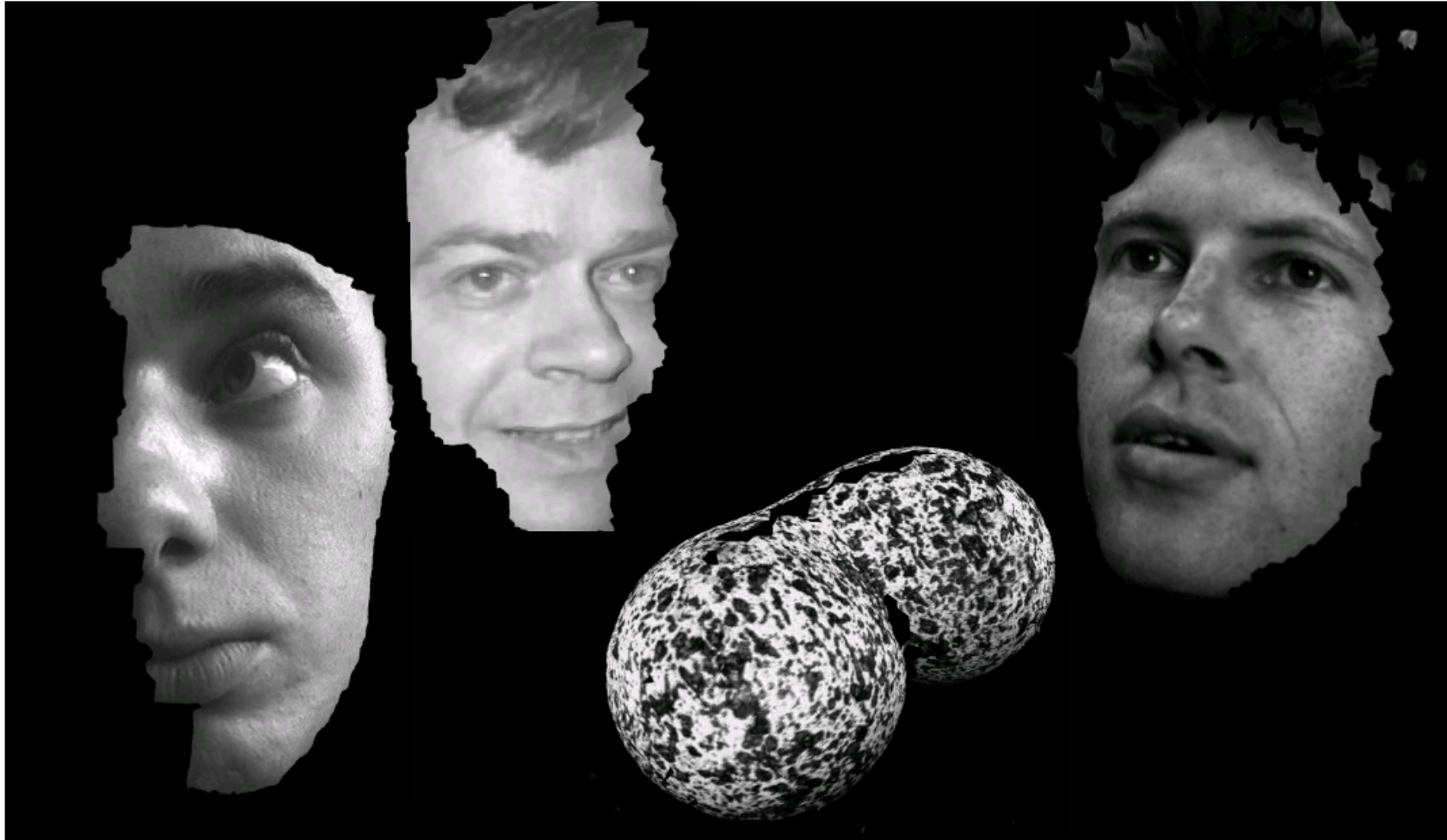


matrices de projection *rectifiées*:  $\mathbf{P} = \begin{bmatrix} \mathbf{p}_1 \\ \mathbf{p}_2 \\ \mathbf{p}_3 \end{bmatrix}$  et  $\mathbf{Q} = \begin{bmatrix} \mathbf{q}_1 \\ \mathbf{p}_2 \\ \mathbf{p}_3 \end{bmatrix}$

$$\mathbf{M} = (x, y, z, 1), \quad \mathbf{m}_1 = \mathbf{P}\mathbf{M} \cong (u_1, v_1, 1), \quad \mathbf{m}_2 = \mathbf{Q}\mathbf{M} \cong (u_1 + d(u_1, v_1), v_1, 1).$$

$$\text{donc } \begin{bmatrix} \mathbf{p}_1 \\ \mathbf{p}_2 \\ \mathbf{q}_1 - \mathbf{p}_1 \\ \mathbf{p}_3 \end{bmatrix} \begin{pmatrix} x \\ y \\ z \\ 1 \end{pmatrix} \cong \begin{pmatrix} u_1 \\ v_1 \\ d(u_1, v_1) \\ 1 \end{pmatrix}.$$

# Quelques résultats



05/12/01

Mise en correspondance  
stéréoscopique

43

# Résumé

---

Applications

Rectification

Critères de corrélation

Algorithmes locaux (par agrégation)

Méthodes surfaciques

    Stéréoscopie par corrélation classique

    Stéréoscopie par corrélation fine

# La suite...

---

## Algorithmes par optimisation

- formulation par minimisation d'énergie
- champs de Markov
- champ moyen ; programmation dynamique ;
- stochastique ; coupes de graphes

## Stéréo multi-image

## Méthodes volumiques

## Méthodes par ensembles de niveau

# Bibliographie

---

- O. Faugeras, Three-Dimensional Computer Vision: a Geometric Viewpoint, MIT Press, 1993.
- F. Devernay, Vision stéréoscopique et propriétés différentielles des surfaces, Thèse de l'École Polytechnique, 1997.
- R. Szeliski. Stereo algorithms and representations for image-based rendering. In British Machine Vision Conference (BMVC'99), volume 2, pages 314-328, Nottingham, England, September 1999.
- R. Szeliski and R. Zabih. An experimental comparison of stereo algorithms. In International Workshop on Vision Algorithms, pages 1-19, Kerkyra, Greece, September 1999.